

МОРСКОЙ ГИДРОФИЗИЧЕСКИЙ ИНСТИТУТ АН УССР

МАТЕРИАЛЫ КОНФЕРЕНЦИИ "СОВЕРШЕНСТВОВАНИЕ
УПРАВЛЕНИЯ РАЗВИТИЕМ РЕКРЕАЦИОННЫХ СИСТЕМ"

УДК 551.464.(262.5)

Бурлакова З.П., Еремеева Л.В., Безбородов А.А.
 ВЗВЕШЕННОЕ ОРГАНИЧЕСКОЕ ВЕЩЕСТВО В ПРИБРЕЖНОЙ ЗОНЕ
 ЧЕРНОГО МОРЯ

Основной задачей настоящего исследования было изучение содержания взвешенного органического углерода ($C_{воб}$), азота ($N_{воб}$) и общего фосфора ($P_{взб}$). Содержание и элементарный состав взвешенного органического вещества в определенной степени является показателем процесса эвтрофикации. Отношение органического углерода, азота и фосфора является также важной характеристикой направленности изменения состава взвешенного органического вещества.

Работы проводились в западной части Черного моря (у мыса Калиакри, станция 2733), северо-западной части (станция 2734-2738) и в районе Южного берега Крыма (у мыса Николая, станции 2751-2755, бухте Ласпи, станция 2743) в июне-июле 1985 года (19 рейс НИС "Профессор Водяницкий"). Данные по содержанию взвешенного органического углерода в водах Черного моря приведены в работах /1,4,6,7/.

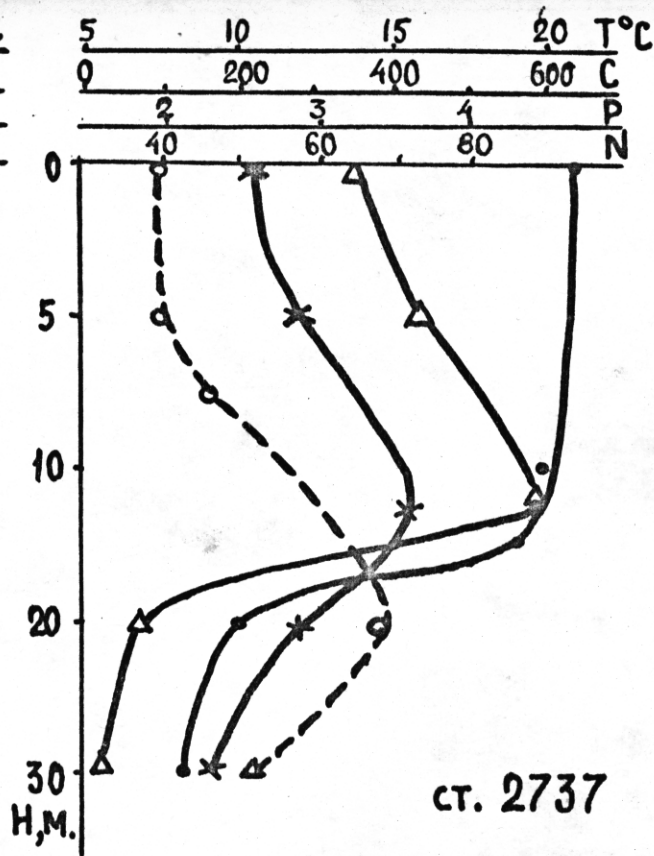
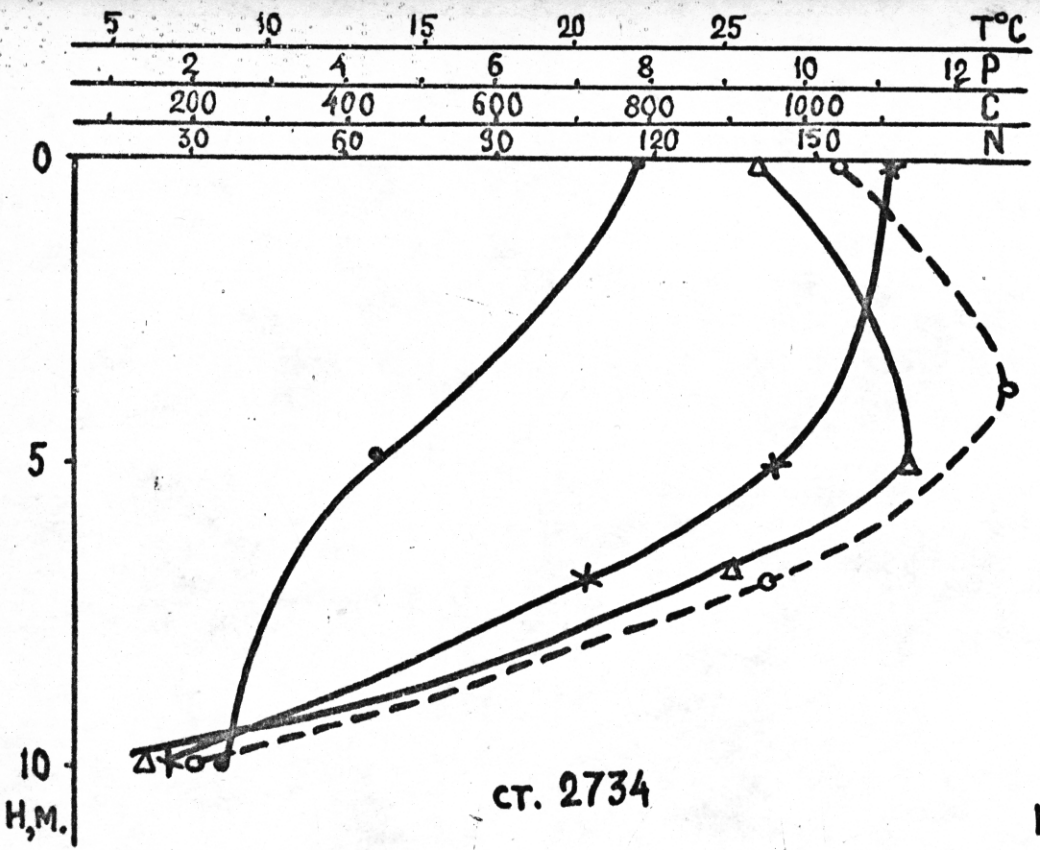
Работы, посвященные одновременному определению взвешенного органического углерода, азота и фосфора в Черном море, отсутствуют. Для сбора взвешенного органического вещества пробы воды 0,5-5 литров фильтровали через прокаленные при 300°C стекловолокнистые фильтры GF/F диаметром 22 мм, позволяющие задерживать частицы размером до 0,45 мкм. Фильтрация проводилась при вакууме с остаточным давлением 0,25 атм. Высушенные при 60°C фильтры до анализа сохранили в экскаторе над силикагелем. Анализ проб на содержание взвешенного органического углерода, азота и фосфора проведен в лабораторных условиях на берегу. Сжигание высушенных фильтров с осадком для определения содержания органического углерода и азота проводили на элементарном автоанализаторе.

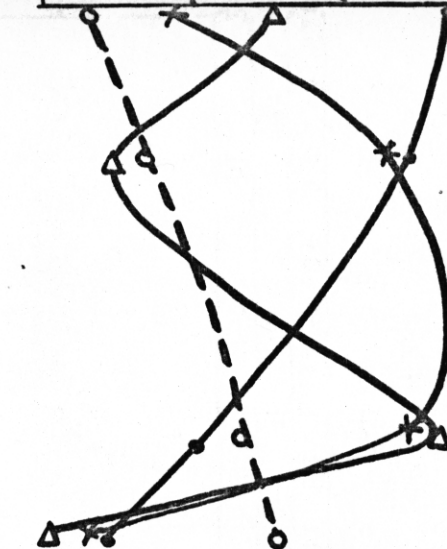
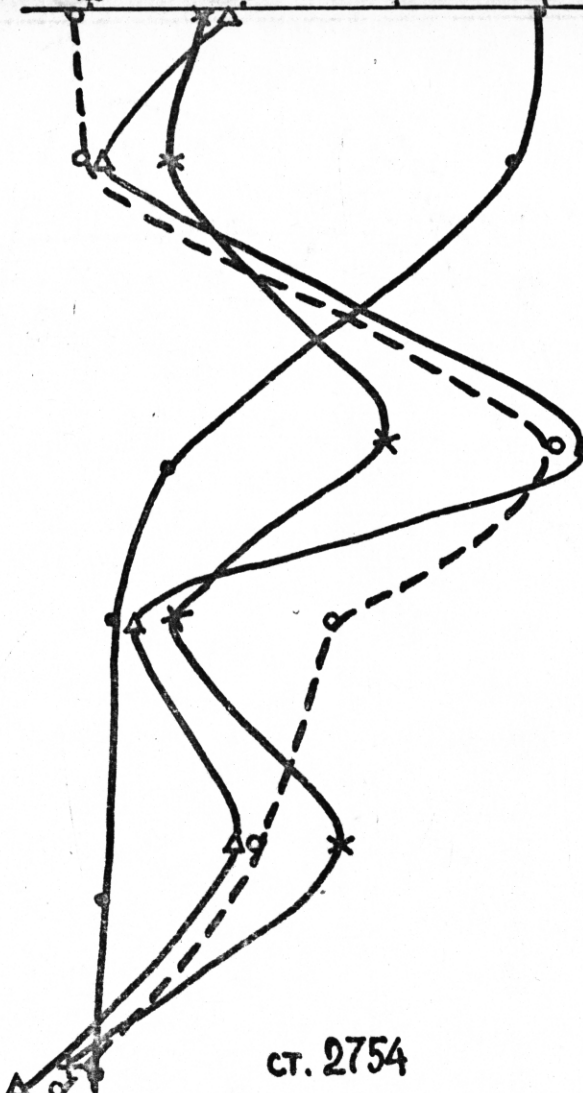
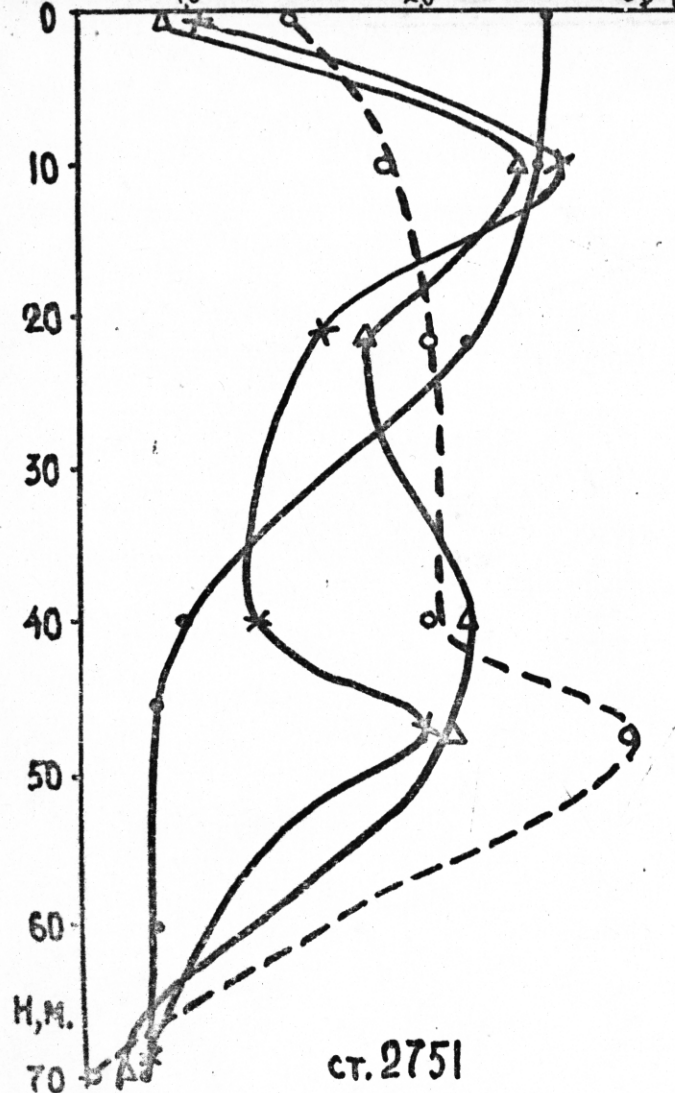
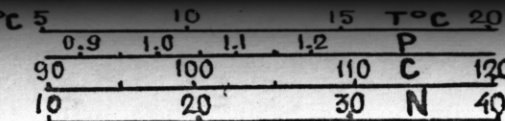
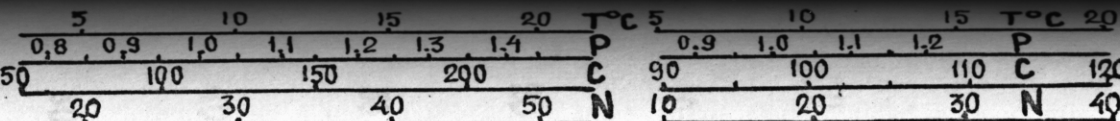
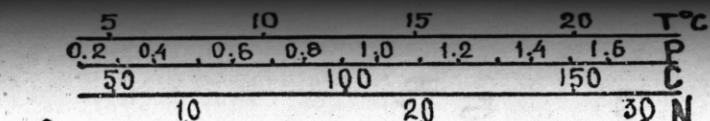
заторе C_{H-N-1C} . Перед анализом фильтры обрабатывались разбавленной соляной кислотой для удаления карбонатов.

Взвешенный общий фосфор определяли сжиганием фильтра с осадком в плаве кислых солей по методике С.В.Люцарева /3/.

Результаты определения $C_{боб}$, $N_{боб}$, $P_{бзь}$ представлены в таблице I. Диапазон концентраций всех характеристик взвешенного органического вещества изменяется в значительных пределах: $C_{боб}$ от 3,6 до 92,7 мкг-ат·л⁻¹, $N_{боб}$ от 0,4 до 0,42 мкг-ат·л⁻¹, $P_{бзь}$ от 0,02 до 12,92 мкг-ат·л⁻¹. Для характеристики района большой интерес представляют параметры взвешенного вещества, рассчитанные для столба воды (табл.2). Анализ таблицы 2 показал, что максимальным содержанием средневзвешенных $C_{боб}$, $N_{боб}$, $P_{бзь}$ отличаются мелководные станции 2734-2737, расположенные в северо-западной части моря. Их концентрации варьируют в пределах 25,9-65,2; 3,3-9,2; 0,07-0,31 мкг-ат·л⁻¹ для $C_{боб}$,

$N_{боб}$ и $P_{бзь}$ соответственно, и близки к среднему содержанию взвешенного органического углерода и азота, полученным в июне 1981 года для Бургасского залива /2/. Такие высокие концентрации параметров взвешенного органического вещества характерны для наиболее богатых сестоном вод Мирового океана /5/. Минимальные величины $C_{боб}$ (8,2 мкг-ат·л⁻¹), $N_{боб}$ (1,0 мкг-ат·л⁻¹), $P_{бзь}$ (0,03 мкг-ат·л⁻¹) получены в районе м.Калиакра в западной части моря (ст.2733). Несколько более высокие концентрации этих параметров (9,2-10,5, 1,6-2,1, 0,03-0,04 мкг-ат·л⁻¹ для $C_{боб}$, $N_{боб}$, $P_{бзь}$ соответственно) были отмечены на разрезе у м.Николая (ст.2751-2755). Вертикальное распределение взвеси определяется, в основном, термохалинной структурой вод. По гидрологическим данным о вертикальном распределении термохалинных свойств морской воды, работы у мыса Калиакра проводились в период еще не завершенного процесса формирования летнего типа термохалинной структуры. На станциях в северо-западной части моря, а также у берега Крыма сезонный термоклин был полностью сформирован. Характерные вертикальные профили взвешенных органического углерода, азота и общего фосфора представлены на рис.I-3. Следует отметить различия в распределении взвешенного органического вещества по вертикали в исследованных районах моря. В





ct. 2751

ct. 2754

ct. 2755

Δ — N — $T^\circ\text{C}$
 \times — C — P

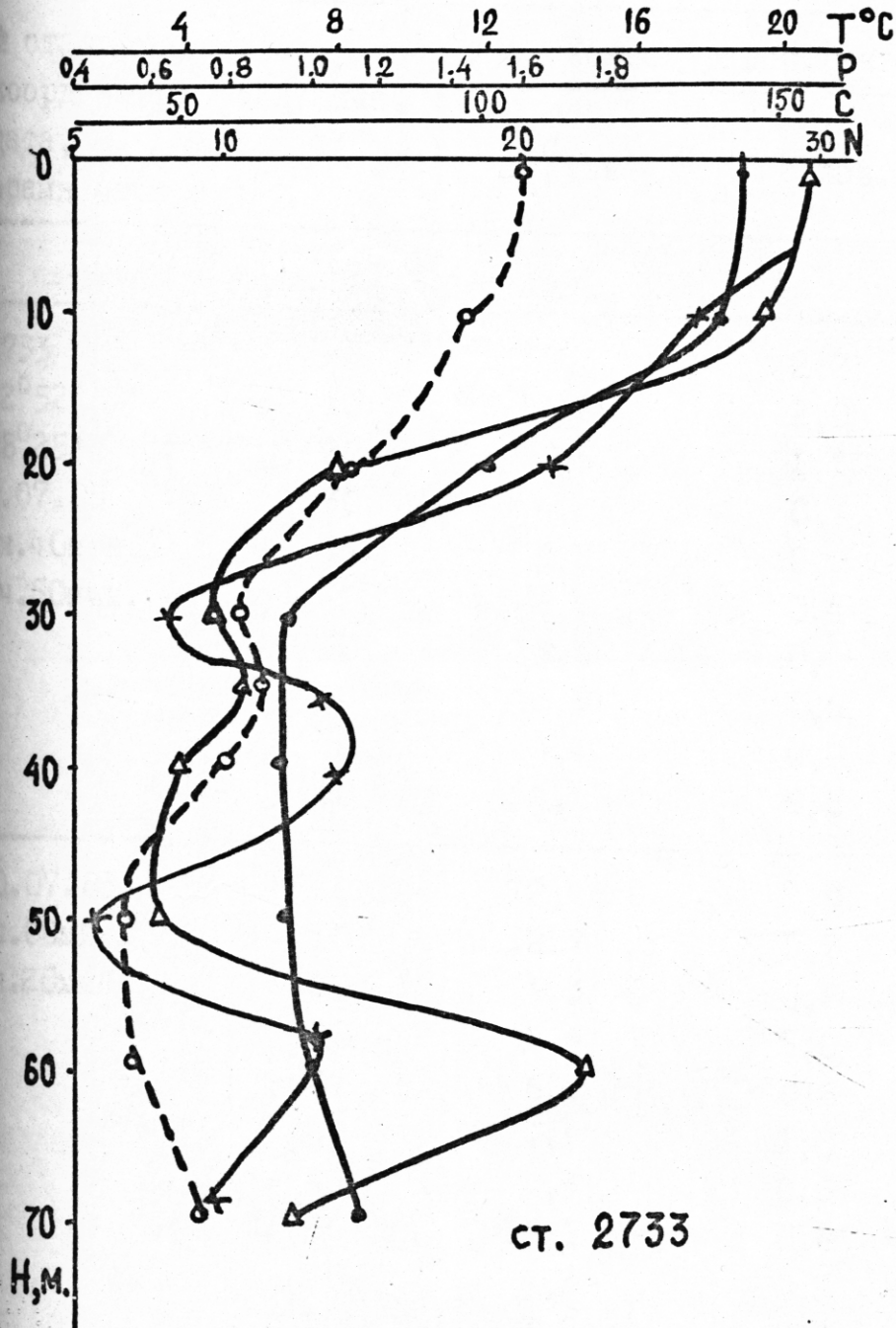


Таблица I. Сводная таблица различных характеристик
взвешенного вещества

№ станции : координаты, : дата, : время отбора :	Глубина, м	Концентрация, мкг-ат л ⁻¹	<i>N</i> взв.	<i>P</i> взв.
I : 1	2 : 2	3 : 3	4 : 4	5
2733	0	35,3	2,2	0,05
42°52'	10	11,2	2,0	0,05
28°25'	20	9,5	1,1	0,06
9.07.85	30	4,2	0,7	0,02
5ч.40мин.	35	6,2	0,8	0,03
6ч.50мин.	40	6,4	0,4	0,03
	50	3,6	0,4	0,02
	60	5,5	1,5	0,02
	70	4,4	0,9	0,02
	80	4,8	0,8	0,02
10.07.85	0	12,4	2,9	0,04
7ч.00мин.	10	12,7	1,7	0,04
8ч.20мин.	20	9,3	0,8	0,03
	30	7,6	1,0	0,03
	37	6,2	0,8	0,03
	40	7,1	1,0	0,02
	45	4,3	0,5	0,03
	50	16,6	0,8	0,02
	60	4,2	0,5	0,02
	70	3,7	0,9	0,02
II.07.85	0	6,9	1,0	0,04
6ч.00мин.	10	9,3	1,0	0,03
7ч.15мин.	20	6,4	0,9	0,03
	30	7,6	1,0	0,04
	35	6,1	1,5	0,04

продолжение таблицы I

I	:	2	:	3	:	4	:	5
		40		5,9		0,9		0,03
		45		5,6		0,6		0,02
		50		7,4		-		0,03
		60		4,8		-		0,02
		70		4,4		0,5		0,02
2734		0		92,7		10,2		0,34
46°05'		5		79,6		II,8		0,42
31°19'		8		59,4		9,9		0,30
I9.07.85		I2		I2,2		I,7		0,06
8ч.30мин.								
2735		0		I8,4		2,8		0,06
45°58'		6		32,2		4,2		0,07
32°07'		I0		30,6		4,I		0,15
I9.07.85		I4		39,3		6,6		0,13
I3ч.15мин.								
2736		0		I3,4		2,3		0,I0
45°51'		6		27,5		4,0		0,08
32°55'		I0		24,7		2,9		0,12
I9.07.85								
I7час.00мин.								
2737		5		2I,3		5,2		0,07
42°32'		I5		34,8		6,5		0,07
32°27'		20		22,4		2,7		0,II
I9.07.85		25		I5,3		2,2		0,08
20час.30мин.								
2738		0		20,0		-		0,06
I9.07.85		I0		9,5		I,0		0,04
24час.00мин.		20		7,7		I,0		0,02
		30		9,0		I,8		0,03

продолжение таблицы I

I	:	2	:	3	:	4	:	5
		40		6,3		0,8		0,02
		50		4,7		-		0,01
		60		3,9		0,6		0,02
2743	<i>днем</i>	0		7,2		0,8		0,02
44°23'		10		7,5		0,8		0,03
34°43'		20		7,5		1,6		0,03
21.07.85		25		7,6		1,6		0,03
8час.00мин.		30		7,2		0,8		0,03
9час.15мин.		35		8,4		1,1		0,03
		40		13,0		1,6		0,02
2751		0		6,7		0,9		0,02
24.07.85		10		14,8		2,6		0,03
II час.45мин.		22		9,2		1,8		0,04
		40		8,2		2,2		0,04
		48		12,0		2,2		0,05
		75		6,2		0,6		0,03
2752		0		9,3		0,8		0,03
24.07.85		10		7,8		1,3		0,03
I5час.20мин.		35		6,8		1,8		0,03
		53		16,0		2,9		0,04
		62		11,5		0,6		0,04
		75		5,0		0,9		0,02
2753		0		8,7		2,4		0,03
24.07.85		10		8,3		2,8		-
I7час.30мин.		24		13,4		1,8		0,05
		33		11,4		2,0		0,04
		60		8,5		1,1		0,03
		75		6,1		0,7		0,02

продолжение таблицы I

I	:	2	:	3	:	4	:	5
2754		0		9,9		2,0		0,03
24,07.85		10		8,7		1,4		0,03
18час.50мин.		28		14,3		3,8		0,05
		40		8,2		1,6		0,04
		55		13,2		2,2		0,03
		75		5,98		1,1		0,03
2755		0		8,3		1,8		0,03
24.07.85		10		9,6		1,1		0,03
20час.50мин.		28		9,6		2,6		0,04
		35		7,9		0,8		0,04

Таблица 2. Средние величины элементарного состава взвешенного органического вещества для столба воды.

Станция	Глуби- на м.	Расчет- ный слой м.	Конц. МКГ-АТ.Л ⁻¹			С : атомное	Р
			C _{ВОВ.}	вов.	P _{ВЗВ.}		
2733	96	0 - 70	8,2	1,0	0,03	I00:I4,8:I,0	
2734	18	0 - 12	65,2	9,2	0,3I	I00:I4,I:0,48	
2735	20	0 - I4	29,8	4,2	0,II	I00:I4,I:0,37	
2736	I6	0 -I0	22,8	3,3	0,IO	I00:I4,8:0,44	
2737	32	0 - 25	25,9	4,7	0,07	I00:I8,2:0,27	
2738	62	0 - 60	8,I	I,0	0,03	I00:I2,3:0,37	
2743	50	0 - 40	7,9	I,2	0,03	I00:I5,2:0,38	
275I	250	0 - 75	9,8	I,8	0,03	I00:I8,4:0,3I	
2752	200	0 - 75	9,5	I,6	0,03	I00:I6,8:0,32	
2753	I60	0 - 75	9,5	I,8	0,04	I00:I8,6:0,4I	
2754	I60	0 - 75	I0,5	2,I	0,04	I00:20,0:0,33	
2755	40	0 - 35	9,2	I.7	0,03	I00:I8,5:0,33	

северо-западной части на мелководных станциях (рис.1, табл. I), подверженной вертикальному перемешиванию, максимальные концентрации взвешенного органического вещества наблюдаются примерно в центре плохо сформированного слоя сезонного термоклина (горизонт 5-8 метров). Ниже этих горизонтов и до дна концентрация ВОВ уменьшается. На ст. 2737, 2738 максимумы $C_{\text{вов}}$, $N_{\text{вов}}$, где глубина увеличивается до 40-60 м, сезонный термоклин хорошо сформирован и максимумы $C_{\text{вов}}$, $N_{\text{вов}}$ находятся над его верхней границей.

Кривые распределения параметров взвешенного органического вещества в районе м. Калиакра (рис.2) имеют несколько максимумов. Повышенные концентрации всех трех элементов отмечены над верхней и под нижней границами сезонного термоклина, на горизонтах 5-10 и 35-40 м соответственно. Третий максимум - только в распределении взвешенного органического углерода и азота и находится над холодным промежуточным слоем.

На разрезе у м. Николая кривые вертикального распределения $C_{\text{вов}}$, $N_{\text{вов}}$, $P_{\text{взв}}$ разнообразны по форме (рис.3). На ст. 2751 (глубина 250 м) вертикальное распределение всех параметров взвешенного органического вещества одинаково, с максимумами над верхней и над нижней границами термоклина, и резким уменьшением их концентраций на более глубоких горизонтах. На ст. 2754 (глубина 160 м) в вертикальном распределении $C_{\text{вов}}$, $N_{\text{вов}}$ наблюдается два максимума - у нижней границы термоклина и под ним. В пределах ХПС единственный максимум в распределении совпадает с первым максимумом $C_{\text{вов}}$ и $N_{\text{вов}}$. Глубже содержание $P_{\text{взв}}$ резко уменьшается, что совпадает с распределением взвешенных компонентов ОВ в районе м. Калиакра (рис.2). На мелководной ст. 2755 (глубина 40 м) отмечаются два максимума у азота (на поверхности и у дна) и один углерода - на глубине 20-30 м. В распределении $P_{\text{взв}}$ отмечается незначительное увеличение содержания ко дну. В целом распределение ВОВ на этой станции аналогично таковому для мелководья северо-запада с несформировавшимся термоклином. Наличие одного максимума ВОВ примерно в центре слоя плохо сформированного термоклина и двух - на границах хорошо сформированного, свидетельствует о возможном разрыве единого слоя повышенных кон-

центраций ВОВ в процессе формирования сезонного термоклина. Существование третьего максимума $C_{\text{B}OB}$ и $N_{\text{B}OB}$ при уменьшении $P_{\text{B}OB}$ в ХПС, может являться хорошим индикатором этой воды и подтверждать ее не местное, а более мелководное происхождение. Повышенное отношение С/Р показывает преобладание дегритной составляющей ВОВ в холодной прослойке и указывает на более длительное время ее жизни по сравнению с выше и ниже расположеными водами.

Анализ данных по элементарному составу взвешенного органического вещества позволил определить соотношения между основными его компонентами ($C_{\text{B}OB}$, $N_{\text{B}OB}$, $P_{\text{B}OB}$). Величины C/N колеблются от 5,0 до 8,1, а С/Р от 100 до 370. Более низкие величины С/Н (5,0-5,9) и относительно более высокие С/Р (> 300) служат доказательством преобладания дегрита во взвешенном органическом веществе на этих станциях. В заключение следует сказать, что по содержанию во взвеси органического углерода, азота и фосфора, воды северо-западной части резко отличаются от вод м. Калиакра и побережья Крыма менее подверженных антропогенному воздействию.

Л и т е р а т у р а

1. Дацко В.Г. Органическое вещество в водах южных морей. М.: Изд-во АН СССР, 1959 г.
2. Ведеников В.И., Берсенева Г.П., Бурлакова З.П. Первичная продукция, хлорофилл и взвешенное органическое вещество в Бургасском заливе летом 1981 г. В кн.: Структура и функционирование прибрежной экосистемы западной части Черного моря. Москва, ИО АН СССР, 1985, с.67-86.
3. Люцарев С.В., Миркина С.Д. Определение общего фосфора во взвешенном веществе. В кн.: Методы гидрохимических исследований океана. Наука, М., 1978, с.176-179.
4. Скопинцев Б.А. Формирование современного химического состава вод Черного моря. Л.: Гидрометеоиздат, 1975.
5. Романович Е.А. Углерод взвешенного органического вещества. В кн.: Океанология, Химия океана. М.: Наука, 1979, т. I. Химия вод океана. с.259-265.

6. Филиппов В.С. Взвешенный органический углерод в водах аэробной зоны Черного моря. В кн.: Экосистема пелагиали Черного моря. М.: Наука, 1980, с.62-64.
7. Финенко З.Ж. Содержание органического вещества в сестоне Черного и Азовского морей. Киев: Наукова Думка, 1965, с.12-16.